

九州大学工学部 正会員 内谷 保
シ シ シ 岳坂 熙

著者らは先に、主桁のたわみおよびねじり角を未知数とする二変数差分法を用いて多室箱桁斜橋を解析し、その力学的特性を論じた。^{2),3)}本論では、この差分法を利用いて多室箱桁斜橋を解析し、斜角の大きさ、析端のねじり角拘束と未拘束、中間ダイヤフラムの導入方および本構造の橋軸直角方向の剛性などが荷重分配特性に及ぼす影響を考察した。

いま、図-1(a)のような多室箱桁断面を図-1(b)のようにある換算曲げ剛性 EI_n および換算ねじり剛性 GJ_n をもつた主桁と、それに直交する幅 b の単位長当たりの換算曲げ剛性が EI_s の帯板にモデル化する。なお、帯板の橋軸方向の剛性は、有効幅を考慮して主桁の換算剛性に含ませることとする。

主桁の微小長さ dx を考え、これに働く断面力および荷重を図-2のようく、曲げモーメント M_n 、ねじりモーメント T_n 、せん断力 V_n 、鉛直荷重強度 q_n 、ねじりモーメント荷重強度 t_n 、帯板より受けける単位長当たりの曲げモーメントおよびせん断力と m_n (m'_n)、 Q_n (Q_{n+1}) とする。主桁のたわみおよびねじり角を θ_n 、 β_n とすれば、図-2において、鉛直方向の荷重のつり合ひおよび主桁軸に沿るねじりモーメントのつり合ひにより次式が得られる。

$$\frac{d^4\theta_n}{dx^4} = \frac{1}{EI_n} (\theta_n + Q_n - Q_{n-1}) \quad (1)$$

$$\frac{d^2\theta_n}{dx^2} = -\frac{1}{GJ_n} (t_n - m'_n - m_n) \quad (2)$$

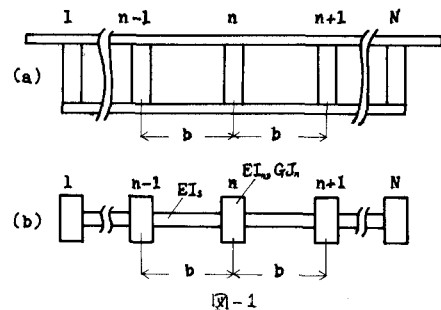


図-1

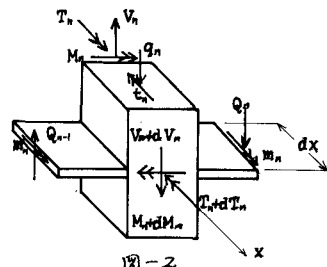


図-2

m_n , m'_n および Q_n , Q_{n+1} はそれぞれ単位長当たりの帯板部材の端モーメントおよび端せん断力であり、 θ_n , β_n も同じく帯板部材端のたわみおよびねじり角であるから、周知のたわみ角式、せん力式を用いて式(1),(2)の右辺を変形量 y_n , β_n で表わすことができる。ここで、差分法を用いるために主桁のスパンを両端で等分割し、分割点(差分点)とのたわみおよびねじり角をそれぞれ θ_i , β_i で表わせば、上式の左辺は次のようになる。

$$\frac{d^4\theta_i}{dx^4} = \frac{1}{\lambda^4} (Y_{i+1} - 4Y_i + 6Y_{i-1} - 4Y_{i-2} + Y_{i-3}), \quad \frac{d^2\theta_i}{dx^2} = \frac{1}{\lambda^2} (\theta_{i+1}'' - 2\theta_i'' + \theta_{i-1}'')$$

各分割点における2つの未知量 θ , β に対する式(1),(2)の2つの差分方程式が得られ、境界条件を考慮することにより、本題の基礎方程式多元連立一次方程式の形で与えられることになる。^{2),3)}

計算例

図-3のような3室箱桁斜橋(斜角 45°)の模型について解析と簡単な実験を行った。材料はアクリル樹脂(弾性係数 $E=3.05 \times 10^4 \text{ kN/cm}^2$)を使用し、解析においては主桁を10分割した。まず、斜角の大きさが荷重分配特性に及ぼす影響をみるために、斜角を 90° から 45° まで変化させて外桁(Girder 1)と中桁(Girder 2)の中点のたわみと曲げモーメントの単位荷重に対する影響係数最大値を求める、表-1に示した。たわみについて

は、直橋(斜角 90°)と斜角 45° の斜橋の両外析中点載荷の場合に約28%，中析中点載荷の場合に約43%ほど斜橋の方が小さくなっています。曲げモーメントについても約16%の差が生じています。

次に、橋端のねじり角拘束と未拘束の場合について、外析中点に単位荷重 1kg/cm を載荷したときの各析中点のたわみ分布と曲げモーメント分布の模様を図-4に示した。析端のねじり角と拘束するとかなり荷重分配の効果が現われ、外析中点のたわみが約35%，曲げモーメントが約29%小さくなっています。

中間ダイヤフラムを図-3のように2ヶ所入れる場合、反力にはほとんど影響しないが、曲げモーメントの分配効果は大きい。一側として、図-5は外析中点の曲げモーメント影響面を示したもので、ダイヤフラムの導入により最大値が約64%に減少しています。

中間ダイヤフラムがない場合の橋軸直角方向の剛性については、次の3通りのCaseを考えて解析を行ってみた。

Case 1；上下床版の中間に横方向の中立軸を仮定する。

Case 2；多室箱析断面をスレーベンティール析に置換する。

Case 3；1つの箱析断面と柱脚固定の片持ちラーメンに置換する。

図-6は各Caseについて、中析の中点17の上下線応力の影響線と実験値とともに示したもので、Case 1は剛性を過大評価しますと危険側になることがわかる。本構造の橋軸直角方向の剛性はCase 2またはCase 3で求めると妥当であると思われます。

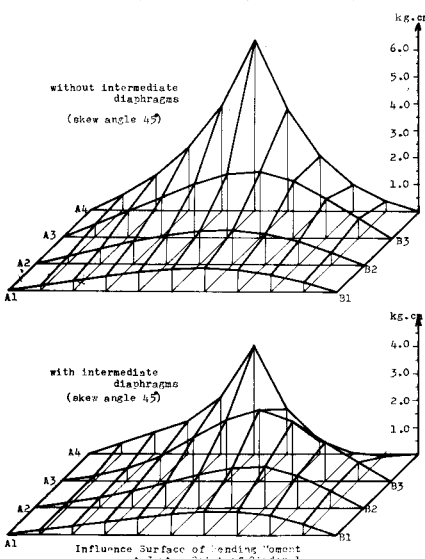


図-5

参考文献

- D.A.Ghali: Analysis of Continuous Skew Concrete Girder Bridges. Proc. of the 1st.Symp. on Concrete Bridge Design, ACI publication sp-23 3)考収、内収：スラブ差分法による多主析合せ斜橋の解析。昭和47年度土木学会西部支部研究発表会論文集。3)考収、内収、裏尾：多主析合せ斜橋の力学的剛性について。土木学会第25回年次学術講演会概要集、昭和48.10.

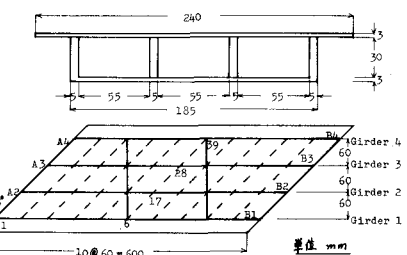


図-3

	たわみ ($\times 10^3$)	曲げモーメント ($\text{kg}\cdot\text{cm}$)
斜角	外析中点 中析中点 外析中点 中析中点	
90°	5.447 4.241 7.316 6.069	
75°	5.320 4.105 7.222 5.986	
60°	4.932 3.696 6.896 5.670	
45°	4.262 3.001 6.314 5.070	

表-1. 影響係数の最大値
(析端のねじり角拘束、中間ダイヤフラム無)

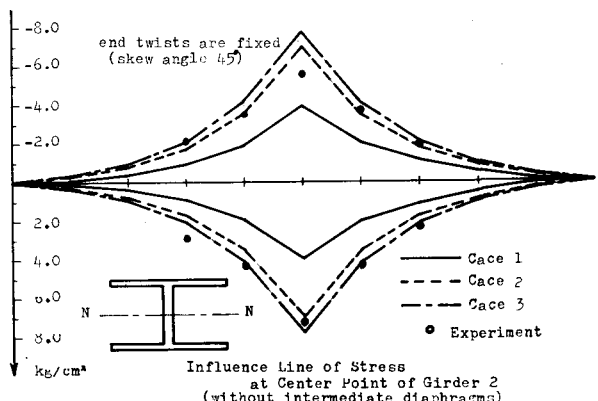
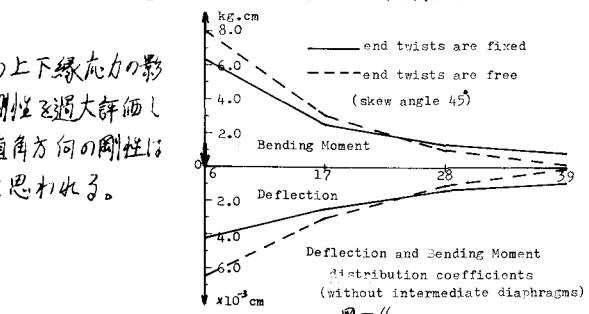


図-6